

沈埋トンネルの地震時応力に対する地盤条件の影響について

東京大学生産技術研究所 田村 重四郎
埼玉大学 岡本 雄三
大成建設 浜田 波則

1 緒言

沈埋トンネルは地震時には、トンネル自体の慣性力に基いた振動が起りにくく、地盤の変位、変形に応じて等動することが今迄の研究によつて明かになつてゐる。そこで、沈埋トンネルの耐震設計には、地盤の変位に基いた新しい方法が必要である。

本報告は通常の地盤に建設される沈埋トンネルの耐震設計に対する基礎資料を得るために、著者等がさきに提案した沈埋トンネルの振動モデルを用いて行った動的解析の結果の一部をまとめたものである。まとめるに当り、対象とした因子は地盤の形状、地盤の基本振動周期、地盤のバネ係数、トンネル断面の形状であり、此等の因子が地震時にトンネル側壁のトンネル軸方向の応力に及ぼす影響を検討した。基盤への入力地震波はHachinohe EW (1968), El Centro NS (1940) 及びTaft EW (1952) の3種類であつて、水平にトンネル軸方向及びトンネル軸直交方向に加えられた。此等の入力地震波と上述の因子とを組合せて約260ケースの解析計算が実施された。

2 計算条件

(1) 地盤の形状 解析対象地盤は、基盤上の層厚の異なる2種の表層地盤と斜面部と設けて示された図-1に示すような形状の均質等方性的弾性地盤である。斜面部の形状は一様な勾配の場合(一点鉛線) 斜面中腹で勾配が変る場合(実線) 及び2段差がある場合(点線)の3種類である。斜面部の長さは既設トンネルの例を参考にして $20m \sim 450m$ とした。また沈埋トンネル上面は地表面より略々 $2m$ の深さにあるものとした。

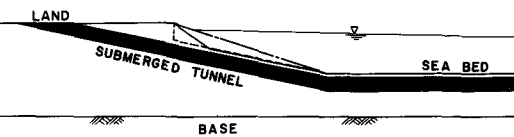


図-1 地盤の形状

(2) 地盤の基本振動周期 地盤の基本振動周期は、表層地盤でのS波の伝播速度を $140m/s$ として、表層地盤の厚みを設定して算定したものであり、厚い表層地盤(以下地盤Iと云う)に対し $0.8s$ ～ $2.0s$ 、薄い表層地盤(以下地盤IIと云う)に対し $0.5s$ ～ $1.5s$ を採用した。両者の周期の組合せは、水深、斜面部の形状を考慮して、19ケースを選んだ。

(3) 地盤のバネ係数及びトンネル断面の形状 トンネルの変形に対してはトンネルの剛性とトンネルに作用する地盤のバネ係数の比が重要である。そこで次式で示す、弾性床上の棒状体の変位の式で使用されている係数 β_x, β_y を用いて、この比を表現した。

$$\beta_x = \sqrt{\frac{E \cdot I}{E \cdot A}} \quad (\text{トンネル軸方向}),$$

$$\beta_y = \sqrt{\frac{E \cdot I}{E \cdot A}} \quad (\text{トンネル軸直交方向}),$$

但し、 β_x :トンネル軸方向に作用する地盤のトンネルに対するバネ係数($t/m/m$)、 β_y :トンネル軸直交方向に作用する地盤のトンネルに対するバネ係数($t/m/m$)、E: トンネルのコンクリートのヤング係数で $3.0 \times 10^5 t/m^2$ とする、I: トンネル断面の断面二次モーメント(m^4)、A: トンネル断面のコンクリートの断面積(m^2)。

	AREA	MOMENT OF INERTIA	SECTION MODULUS
RAILWAY TUNNEL	$40 m^2$	$550 m^4$	$90.0 m^3$
ROAD TUNNEL I	$90 m^2$	$7,000 m^4$	$500.0 m^3$
ROAD TUNNEL II	$130 m^2$	$17,000 m^4$	$1,000.0 m^3$

表-1 トンネルの断面

$$0.3 \times 10^{-2} < \beta_x < 0.8 \times 10^{-2} (t/m), 0.15 \times 10^{-1} < \beta_y < 0.4 \times 10^{-1} (t/m)$$

沈埋トンネルのI、A及び断面係数はトンネルの使用目的及び断面の大きさを考慮して3種類に分類し表-1の値とした。

以上の例及び既に実施された解析事例を参考にして β_x, β_y の値を次の範囲にとることにした。

3 計算結果及び考察

地震に対するトンネルの変位応答の時周波数変化をみた場合、トンネル軸線上の変位の分布は特に斜面部で複雑な曲線になる。地盤I、IIでは固有振動が卓越して、しかも安定して発生するのに対し、斜面部の地盤では基本振動周期が一定でないため、複雑な曲線があらわれ非定常的に変動するからである。しかし、地盤I、IIの固有振動周期を夫々 T_1, T_2 として地震動の応答変位スペクトルが T_1 と T_2 の周で大きな変化がない場合、斜面部地盤の応答変位は地盤I、IIの応答変位と関連があるものとみることが出来る。

そこで地盤I、IIが夫々の基本振動周期に対応した応答変位スペクトル D_1, D_2 が互に逆位相に変化した場合を想定し($D_1 + D_2$)を地盤I、IIの間の最大相対変位とみなして、単位相対変位当りのトンネルの軸応力 $\bar{\sigma}_t$ 及び総応力 $\bar{\sigma}_B$ を次式によって算定した。

$$\bar{\sigma}_t = \frac{J_t}{D_1 + D_2} (\text{kg/cm}^2/\text{cm}), \quad \bar{\sigma}_B = \frac{J_B}{D_1 + D_2} (\text{kg/cm}^2/\text{cm})$$

但し、 J_t, J_B は応答計算で得られたトンネル断面での最大軸力及び最大曲げモーメントから計算されたトンネルの最大軸応力及び最大総応力である。

次の(1)で示されるように $\bar{\sigma}_t$ 及び $\bar{\sigma}_B$ は何れも入力地震波形の違いによって値がそうちらばらない。このことは地震時にトンネルに発生するの、 $\bar{\sigma}_t$ の値は、地盤I、IIの応答変位よりきる最大相対変位量から推定出来る事を示している。

次に $\bar{\sigma}_t, \bar{\sigma}_B$ に対する前述の因子の影響について考察する。

(1) 地盤の基本振動周期の影響 トンネルの断面積 $90 m^2$ 、断面二次モーメント $7000 m^4$ 、斜面部地盤の長さ $150 m$ 、斜面勾配一様 $\beta_x = 0.55 \times 10^{-2} (t/m), \beta_y = 0.275 \times 10^{-1} (t/m)$ の条件のもとで19通りの地盤について軸応力 $\bar{\sigma}_t$ を算定し、その結果を図-4に示す。図-4の横軸は地盤Iの周期と継軸は地盤IIの周期を示し、図中に黒点印に付せられた数値は、この黒点の座標より決まる周

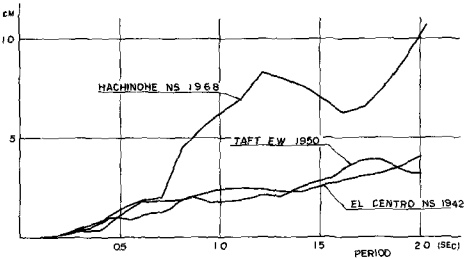


図-2 入力波型変位スペクトル

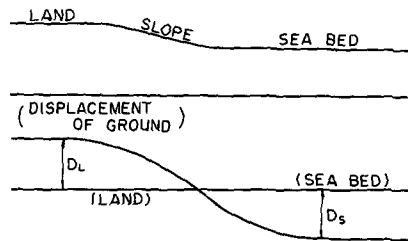


図-3

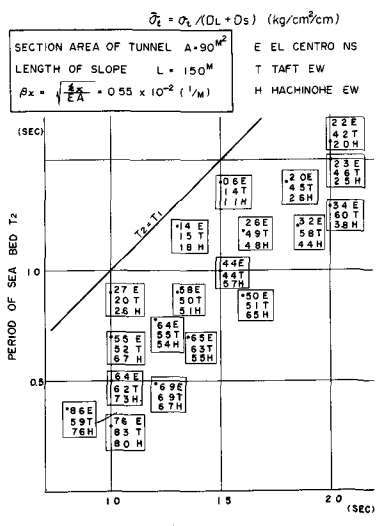


図-4 最大軸応力 $\bar{\sigma}_4$

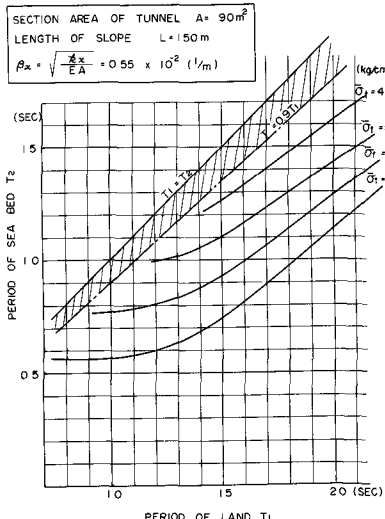


図-5 最大軸応力 $\bar{\sigma}_4$

応力 $\bar{\sigma}_4$ に対する斜面部地盤の長さの影響を検討した結果である。図の横軸は斜面部地盤の水平距離、縦軸は軸応力 $\bar{\sigma}_4$ を示している。例として地盤Iの周期 1.2 秒、地盤IIの周期 0.771 秒 (Case 4) の場合、斜面部地盤の水平距離が 30 m で $5.63^{1/3}/\text{cm}^2/\text{cm}$, 90 m で $5.55^{1/3}/\text{cm}^2/\text{cm}$, 150 m で $5.40^{1/3}/\text{cm}^2/\text{cm}$, 210 m で $5.29^{1/3}/\text{cm}^2/\text{cm}$, 300 m で $5.16^{1/3}/\text{cm}^2/\text{cm}$, 450 m で $4.75^{1/3}/\text{cm}^2/\text{cm}$ となり、軸応力 $\bar{\sigma}_4$ は斜面部地盤の長さの増加に伴いほぼ直線的に減少している。

図-7 の各 Case の軸応力値を斜面部地盤の長さが 150 m の場合の応力値に対する比で示したのが図-8 である。この結果によると斜面部の長さが 30 m の場合の軸応力 $\bar{\sigma}_4$ は、斜面部の長さが 150 m の場合の軸応力の 85% ~ 95% となり斜面部の長さが 250 m では 70% ~ 90% になる。同様に、 $\beta_x = 0.3 \times 10^{-2} (\text{1/m})$ の場合について検討した結果は $\beta_x = 0.55 \times 10^{-2} (\text{1/m})$ の場合とほぼ同様であった。軸応力 $\bar{\sigma}_4$ に対する斜面部地盤の長さの影響を検討した結果を図-9 に示す。入力地震波: El Centro

期と地盤I, II の基本振動周期としたとき、トンネルに発生する $\bar{\sigma}_4$, $\bar{\sigma}_B$ の値である。E, T, H の略記号は、各々入力地震波が El Centro, Taft, Hachinohe であることを表している。

本図は入力波形の種類によって直接算定される $\bar{\sigma}_4$ の値に著しい差異があるに拘らず、こしに対応して求めた $\bar{\sigma}_B$ の値はかなりよいまことに示している。

地盤I の周期が 1.5 秒以上の区間で、Taft 地震波に対する $\bar{\sigma}_B$ の値が他の地震波に対する $\bar{\sigma}_B$ の約 2 倍になっているのは、図-2 に示してある変位スペクトルの形状に関連があるものとみられる。

そこで夫々の基本振動周期に対し、入力地震波の種類に無関係に $\bar{\sigma}_4$, $\bar{\sigma}_B$ の最大値を対応させこしにもとづいて、等応力線図を描いたものが図-5, 6 である。

図-5, 6 によれば地盤周期が短かいほど $\bar{\sigma}_4$, $\bar{\sigma}_B$ は大きく、又地盤I と地盤II の周期の差が増大すると応力値は増加することが分かる。

(2) 斜面部地盤の長さの影響 図-7 は β_x を $0.55 \times 10^{-2} (\text{1/m})$ 斜面部勾配を一様入力波を Hachinohe

EW とした場合の軸

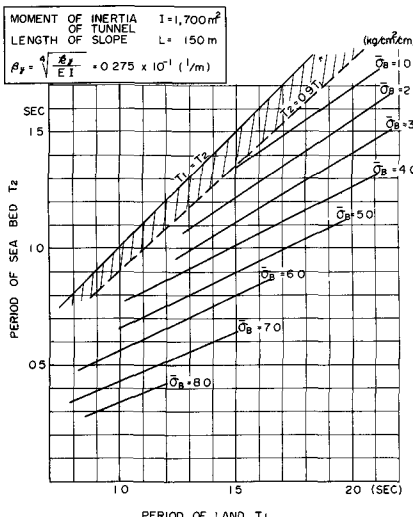


図-6 最大曲げ応力 $\bar{\sigma}_B$

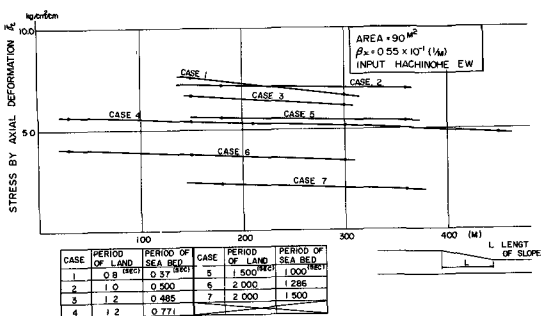


図-7 斜面部地盤の長さの影響

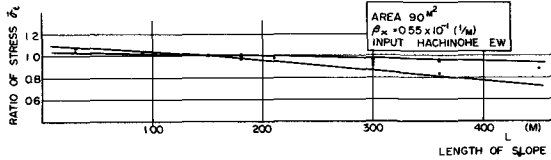


図-8 斜面部地盤の長さの影響

-NS, $\beta_y = 0.275 \times 10^{-1} (\text{1/m})$ の場合である。縦応力の場合も 軸応力の場合と同様に斜面部地盤の長さが増加するとほぼ直線的に減少するがその傾向は著しい。

(3) 地盤のバネ係数及びトンネルの剛度影響

β_x, β_y を変数にとり、こ山谷にトンネルの応力に与える影響を検討した。斜面部地盤の長さは 150m, 入力地震波は El Centro NS である。図-10 の結果によれば、軸応力 β_y は β_x の増加に対して直線的に増大せず、その増加率は β_x の増大に伴い減少する傾向である。これは β_x が無限大になったときに、トンネルの変形や地盤の変形に一致しこの変形による軸応力に寄与することを示している。図-10 に示した各 Case の軸応力度を各々 $\beta_x = 0.55 \times 10^{-2}$ (1/m) の場合の応力度の比で表わしたのが図-11 である。これによると $\beta_x = 0.8 \times 10^{-2}$ (1/m) の場合の軸応力は $\beta_x = 0.55 \times 10^{-2}$ (1/m) の場合の軸応力の 1.3~1.4 倍である。図-11 の計算値を直線に近似すると、図-11 に示した直線式が得られた。

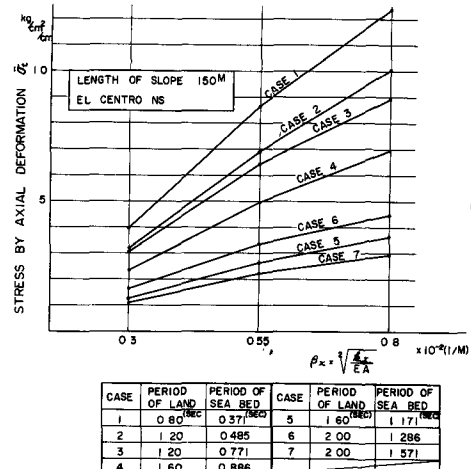


図-10 β_x の影響

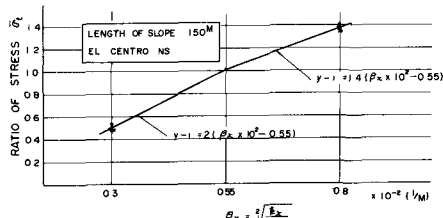


図-11 β_x の影響

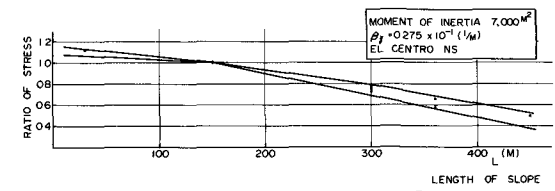


図-9 斜面部地盤の長さの影響

-NS, $\beta_y = 0.275 \times 10^{-1} (\text{1/m})$ の場合である。縦応力の場合も 軸応力の場合と同様に斜面部地盤の長さが増加するとほぼ直線的に減少するがその傾向は著しい。

(3) 地盤のバネ係数及びトンネルの剛度影響

β_x, β_y を変数にとり、こ山谷にトンネルの応力に与える影響を検討した。斜面部地盤の長さは 150m, 入力地震波は El Centro NS である。図-10 の結果によれば、軸応力 β_y は β_x の増加に対して直線的に増大せず、その増加率は β_x の増大に伴い減少する傾向である。これは β_x が無限大になったときに、トンネルの変形や地盤の変形に一致しこの変形による軸応力に寄与することを示している。図-10 に示した各 Case の軸応力度を各々 $\beta_x = 0.55 \times 10^{-2}$ (1/m) の場合の応力度の比で表わしたのが図-11 である。これによると $\beta_x = 0.8 \times 10^{-2}$ (1/m) の場合の軸応力は $\beta_x = 0.55 \times 10^{-2}$ (1/m) の場合の軸応力の 1.3~1.4 倍である。図-11 の計算値を直線に近似すると、図-11 に示した直線式が得られた。

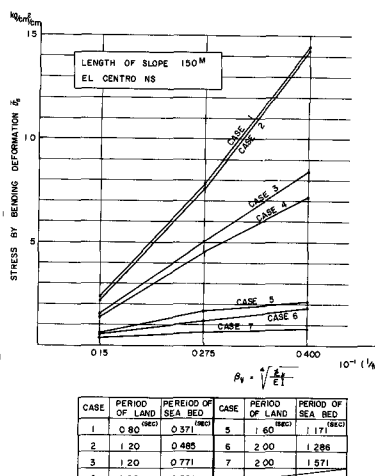


図-12 β_y の影響

図-12 に示した直線式が得られた。

図-12 によれば縦応力 β_y が大きい場合 (Case 1, 2) では β_y の増加に対する応力の増加率は増大する傾向にある。Case 1 では $\beta_y = 0.44 \times 10^{-1} (\text{1/m})$ の場合の縦応力度は $\beta_y = 0.15 \times 10^{-1} (\text{1/m})$ の場合の応力度の 6.5 倍にも達している。縦応力が小さい場合 (図で Case 5, 7) では β_y の増加に伴い β_y の増加率は減少している。